



# Algorithmen für Planare Graphen

Vorlesung am 28.06.2022

Torsten Ueckerdt | 28. Juni 2022

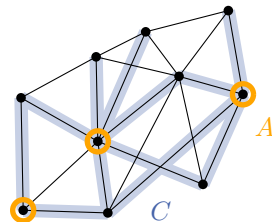
# Wiederholung: Mixed-Max-Cut

## Definition.

Ein **Schnitt** in  $G = (V, E)$  ist eine Kantenmenge  $C \subseteq E$ , die von einer **Knotenmenge**  $A \subseteq V$  folgendermaßen induziert wird:

$$C = \{uv \in E : |A \cap \{u, v\}| = 1\}$$

Menge  $C$  enthält also genau die Kanten, die genau einen Endpunkt in  $A$  haben.



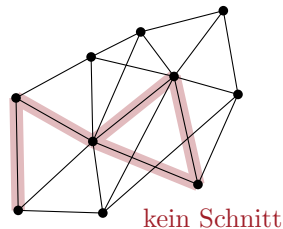
## Problem MIXED-MAX-CUT.

### Gegeben:

- Graph  $G = (V, E)$ ,
- Gewichtsfunktion  $w: E \rightarrow \mathbb{R}$ .

### Gesucht:

- Schnitt  $C \subseteq E$  mit  $w(C) = \sum_{e \in C} w(e)$  maximal und  $C \neq \emptyset$ .



# Mixed-Max-Cut – Überblick

**Eingabe:**  $G_0 = (V, E_0)$  planar.

1. ↓

Trianguliere zu  $G = (V, E)$ .

2. ↓

Dualisiere zu  $G^* = (F, E^*)$ .

3. ↓

Modifiziere zu  $G' = (V', E')$ .

4. ↘

Berechne ein gewichtsminimales perfektes Matching  $M$  in  $G'$ .

**Ausgabe:**  $C_0 = C \cap E_0$  Mixed-Max-Cut in  $G_0$ .

↑

$C = (C^*)^*$  Mixed-Max-Cut in  $G$ .

↑

$C^* = C' \cap E^*$  gew.max. gerade Menge in  $G^*$

↑

$C' = E' - M$  gew.max. 2-Faktor in  $G'$

↗

# Mixed-Max-Cut – Überblick

**Eingabe:**  $G_0 = (V, E_0)$  planar.

1. ↓

Trianguliere zu  $G = (V, E)$ .

2. ↓

Dualisiere zu  $G^* = (F, E^*)$ .

3. ↓

Modifiziere zu  $G' = (V', E')$ .

4. ↘

Berechne ein gewichtsminimales perfektes Matching  $M$  in  $G'$ .

Fragen für heute:

**Ausgabe:**  $C_0 = C \cap E_0$  Mixed-Max-Cut in  $G_0$ .

↑

$C = (C^*)^*$  Mixed-Max-Cut in  $G$ .

↑

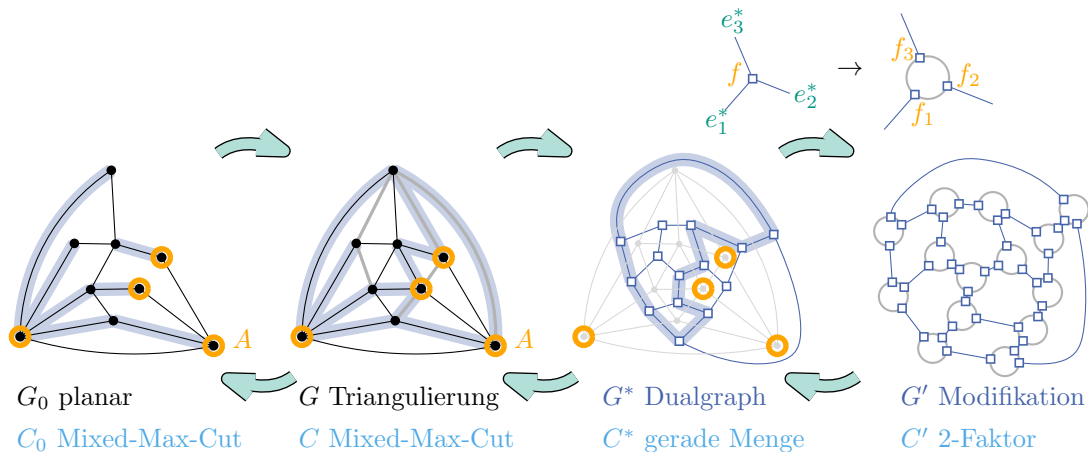
$C^* = C' \cap E^*$  gew.max. gerade Menge in  $G^*$

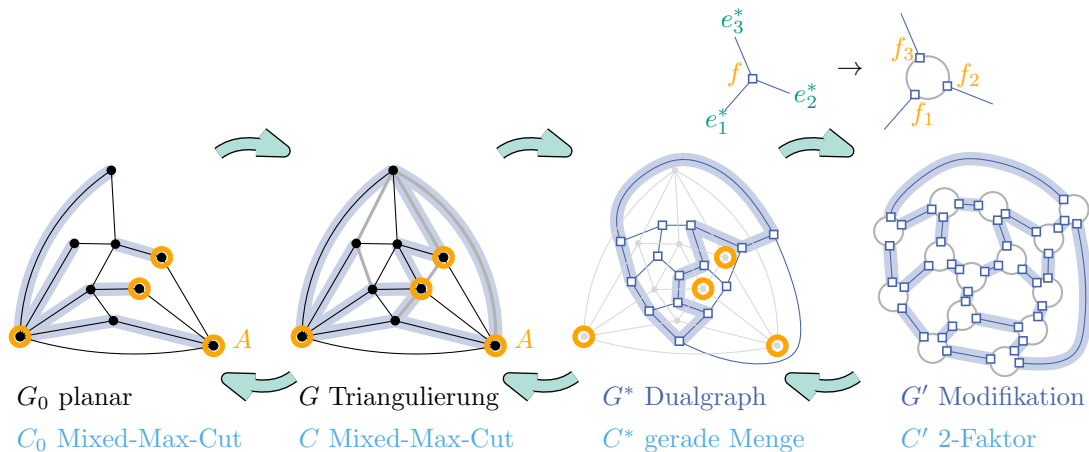
↑

$C' = E' - M$  gew.max. 2-Faktor in  $G'$

↗

- Wie berechnen wir  $M$ ? (Existenz?)
- Was ist die Laufzeit?
- Warum ist  $C_0 \neq \emptyset$ ?



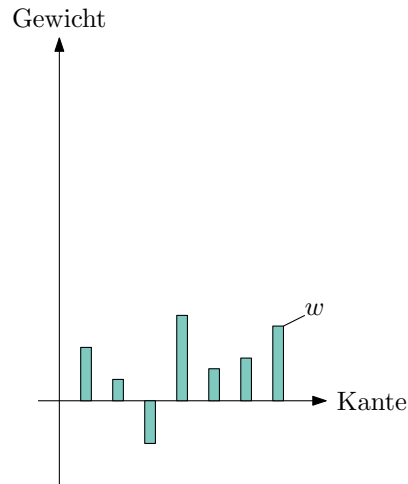


## Berechnung und Laufzeit

### Satz.

In planaren Graphen können **gewichtsm minimale** perfekte Matchings in  $O(n^{\frac{3}{2}})$  berechnet werden.

**Beweis:** Reduziere auf **gewichtsm maximales** Matching.



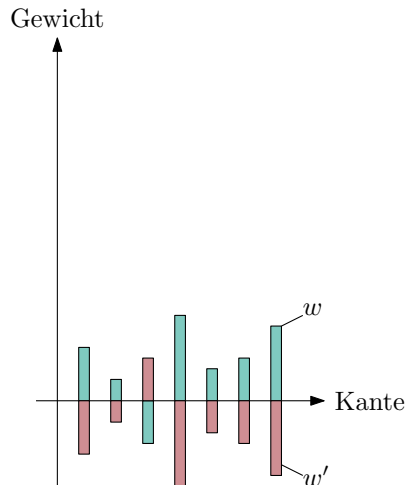
## Berechnung und Laufzeit

### Satz.

In planaren Graphen können **gewichtsm minimale** perfekte Matchings in  $O(n^{\frac{3}{2}})$  berechnet werden.

**Beweis:** Reduziere auf **gewichtsm maximales** Matching.

- $w'(e) := -w(e)$ .
  - Maximal bezüglich  $w' \Leftrightarrow$  minimal bezüglich  $w$ .





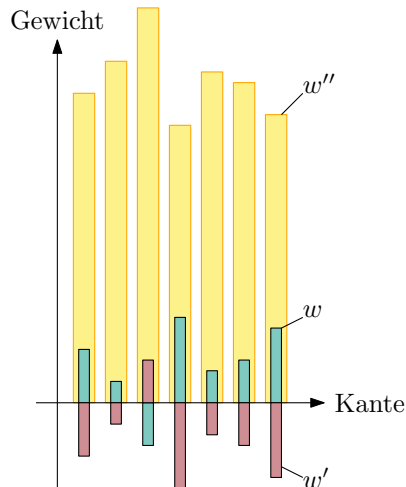
## Berechnung und Laufzeit

### Satz.

In planaren Graphen können **gewichtsm minimale** perfekte Matchings in  $O(n^{\frac{3}{2}})$  berechnet werden.

**Beweis:** Reduziere auf **gewichtsm maximale** Matching.

- $w'(e) := -w(e)$ .
  - Maximal bezüglich  $w' \Leftrightarrow$  minimal bezüglich  $w$ .
- $w''(e) := W + w'(e)$  für  $W > |V| \cdot \max_{e \in E'}(|w'(e)|)$ .
  - Max. Matching bzgl.  $w''$  hat die **größtmögliche** Anzahl Kanten.
  - Damit sind gewichtsm maximale Matchings bzgl.  $w''$  **perfekt**.
- Max. Matchings bzgl.  $w''$  entsprechen also genau den min. **perfekten** Matchings bezüglich  $w$ .



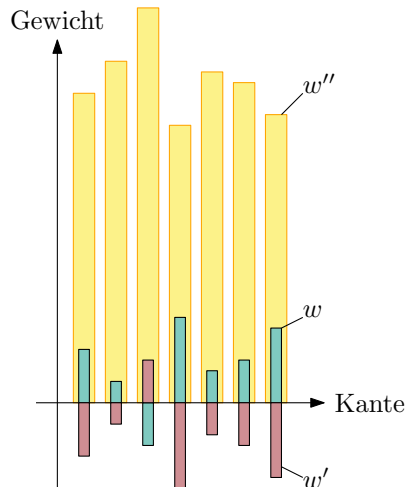
# Berechnung und Laufzeit

## Satz.

In planaren Graphen können **gewichtsm minimale** perfekte Matchings in  $O(n^{\frac{3}{2}})$  berechnet werden.

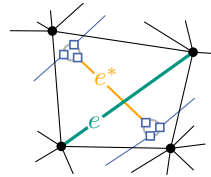
**Beweis:** Reduziere auf **gewichtsm maximale** Matching.

- $w'(e) := -w(e)$ .
  - Maximal bezüglich  $w' \Leftrightarrow$  minimal bezüglich  $w$ .
- $w''(e) := W + w'(e)$  für  $W > |V| \cdot \max_{e \in E'}(|w'(e)|)$ .
  - Max. Matching bzgl.  $w''$  hat die **größtmögliche** Anzahl Kanten.
  - Damit sind gewichtsm maximale Matchings bzgl.  $w''$  **perfekt**.
- Max. Matchings bzgl.  $w''$  entsprechen also genau den min. **perfekten** Matchings bezüglich  $w$ .
- Fertig, da MAX MATCHING in  $O(n^{\frac{3}{2}})$ . ✓



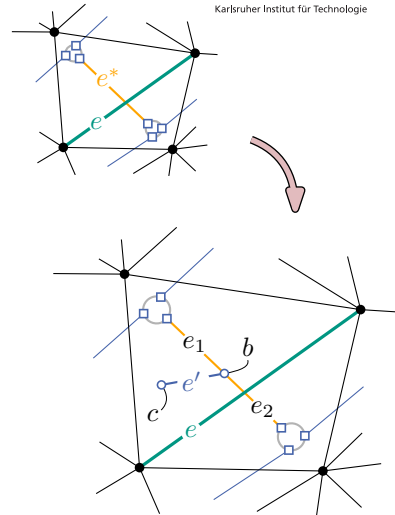
## $C_0 \neq \emptyset$ sicherstellen

- Für eine Kante  $e \in E_0$  wollen wir erzwingen, dass  $e \in C_0$ .
- Also soll  $e^*$  nicht in  $M'$  sein:
  - Das kann man durch lokale Modifikation erreichen.
  - Unterteile  $e^*$  mit Knoten  $b$  (dadurch entstehen  $e_1, e_2$ ).
  - $w(e_1) = w(e^*), w(e_2) = 0$ .
  - Füge Kante  $e' = bc$  mit neuem Knoten  $c$  hinzu.
  - $w(e') = 0$ .
  - Jedes perfekte Matching muss dann  $e' = bc$  enthalten.
- Dadurch wird  $e \in C_0$  garantiert. ✓



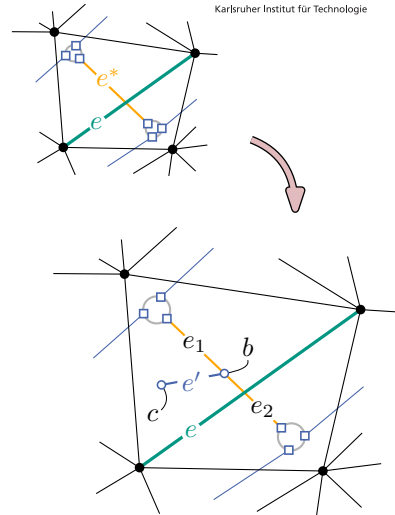
## $C_0 \neq \emptyset$ sicherstellen

- Für eine Kante  $e \in E_0$  wollen wir erzwingen, dass  $e \in C_0$ .
- Also soll  $e^*$  nicht in  $M'$  sein:
  - Das kann man durch lokale Modifikation erreichen.
  - Unterteile  $e^*$  mit Knoten  $b$  (dadurch entstehen  $e_1, e_2$ ).
  - $w(e_1) = w(e^*), w(e_2) = 0$ .
  - Füge Kante  $e' = bc$  mit neuem Knoten  $c$  hinzu.
  - $w(e') = 0$ .
  - Jedes perfekte Matching muss dann  $e' = bc$  enthalten.
- Dadurch wird  $e \in C_0$  garantiert. ✓



## $C_0 \neq \emptyset$ sicherstellen

- Für eine Kante  $e \in E_0$  wollen wir erzwingen, dass  $e \in C_0$ .
- Also soll  $e^*$  nicht in  $M'$  sein:
  - Das kann man durch lokale Modifikation erreichen.
  - Unterteile  $e^*$  mit Knoten  $b$  (dadurch entstehen  $e_1, e_2$ ).
  - $w(e_1) = w(e^*), w(e_2) = 0$ .
  - Füge Kante  $e' = bc$  mit neuem Knoten  $c$  hinzu.
  - $w(e') = 0$ .
  - Jedes perfekte Matching muss dann  $e' = bc$  enthalten.
- Dadurch wird  $e \in C_0$  garantiert. ✓
- Um den besten Schnitt zu erhalten, wiederholt man den Vorgang für jede Kante  $e \in E_0$ .
- Wir erhalten also eine Laufzeit von  $O(n^{\frac{3}{2}}) \cdot O(n) = O(n^{\frac{5}{2}})$
- $O(n^{\frac{3}{2}})$  ist aber möglich!



# Mixed-Max-Cut – Überblick

**Eingabe:**  $G_0 = (V, E_0)$  planar.

1. ↓

Trianguliere zu  $G = (V, E)$ .

2. ↓

Dualisiere zu  $G^* = (F, E^*)$ .

3. ↓

Modifiziere zu  $G' = (V', E')$ .

4. ↘

Berechne ein gewichtsminimales perfektes Matching  $M$  in  $G'$ .

**Ausgabe:**  $C_0 = C \cap E_0$  Mixed-Max-Cut in  $G_0$ .

↑

$C = (C^*)^*$  Mixed-Max-Cut in  $G$ .

↑

$C^* = C' \cap E^*$  gew.max. gerade Menge in  $G^*$

↑

$C' = E' - M$  gew.max. 2-Faktor in  $G'$

↗

Da alle Schritte bis auf Berechnung von  $M$  nur  $O(n)$  Zeit brauchen, ist MIXED-MAX-CUT in  $O(n^{\frac{3}{2}})$ .

# Planarität testen

## Problem

Gegeben ein Graph  $G$  als [Adjazenzliste](#), entscheide ob  $G$  planar ist.

### Möglichkeit:

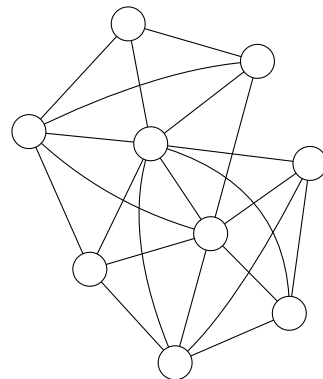
- Teste auf  $K_5$ - oder  $K_{3,3}$ -Unterteilung.
- Test auf  $H$ -Unterteilung von  $G$ :
  - Algorithmus von Karawabayashi-Reed (2012)
  - Laufzeit  $\leq c(H) \cdot |V(G)|^2$
  - Theoretisch effizient aber nicht praktikabel, da  $c(H) \approx 2 \uparrow\uparrow\uparrow |V(H)|$
- Alle effizienten Planaritätstests sind **nichttrivial**.
- **Lineare Laufzeit**  $O(|V(G)|)$  ist aber möglich.
- Hier **LR-Planarität**.

### Pfeil-Notation von Knuth:

- $a \uparrow b := a^b$
  - $a \underbrace{\uparrow \cdots \uparrow}_k b := a \underbrace{\uparrow \cdots \uparrow}_{k-1} (\underbrace{\cdots (a \underbrace{\uparrow \cdots \uparrow}_{k-1} a)}_{k-1})$
- $\underbrace{\hspace{10em}}_{b\text{-fach}}$

# LR-Planarität

- Annahme:
  - $G$  hat keine Mehrfachkanten.
  - $G$  hat keine Schlingen.
  - $G$  hat keine Brücken.
    - ⇔ Also liegt jede Kante auf einem Kreis.
  - $G$  ist zusammenhängend.







# LR-Planarität

## ■ Annahme:

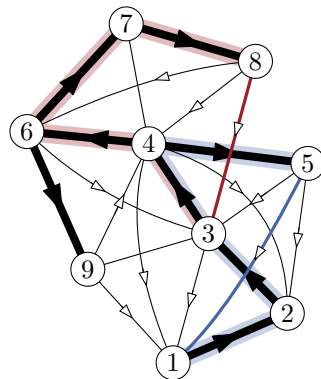
- $G$  hat keine Mehrfachkanten.
- $G$  hat keine Schlingen.
- $G$  hat keine Brücken.
  - ⇔ Also liegt jede Kante auf einem Kreis.
- $G$  ist zusammenhängend.

## ■ Vorbereitendes Vorgehen:

- Tiefensuche (DFS) von beliebigem Startknoten.
- Nummeriere Knoten in Explorierungsreihenfolge.
- Orientiere Baumkanten in Explorierungsreihenfolge.
- Orientiere Nichtbaumkanten ebenfalls.

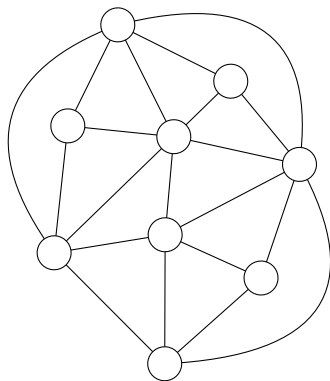
## ■ Erste Beobachtungen:

- Nichtbaumkanten verbinden immer zwei Knoten auf gemeinsamen Wurzel-Blatt-Pfad.
- Jede Nichtbaumkante  $e$  schließt einen eindeutigen Kreis mit den Baumkanten (**Fundamentalkreis zu  $e$** ).



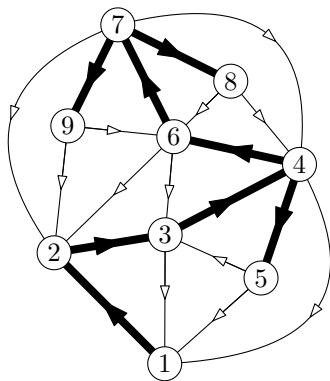
## Was hilft der Baum?

- Jede planare Zeichnung von  $G$  liefert auch eine planare Zeichnung des DFS-Baums.
- Betrachte Zeichnung mit der Wurzel an der äußeren Facette.
- Jede Nichtbaumkante  $e$  führt entweder links (**L-Kante**) oder rechts (**R-Kante**) am Baum zurück.
- Formal:
  - Ist der Fundamentalkreis von  $e$  im Uhrzeigersinn orientiert, so ist  $e$  **R-Kante**, ansonsten **L-Kante**, dieser Zeichnung.



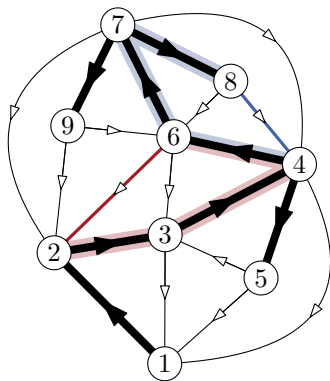
## Was hilft der Baum?

- Jede planare Zeichnung von  $G$  liefert auch eine planare Zeichnung des DFS-Baums.
- Betrachte Zeichnung mit der Wurzel an der äußeren Facette.
- Jede Nichtbaumkante  $e$  führt entweder links (**L-Kante**) oder rechts (**R-Kante**) am Baum zurück.
- Formal:
  - Ist der Fundamentalkreis von  $e$  im Uhrzeigersinn orientiert, so ist  $e$  **R-Kante**, ansonsten **L-Kante**, dieser Zeichnung.



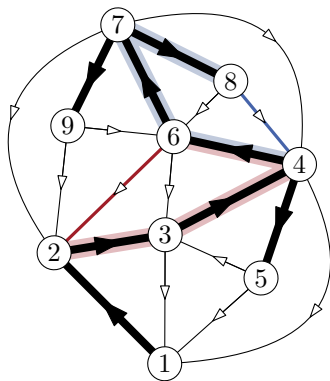
## Was hilft der Baum?

- Jede planare Zeichnung von  $G$  liefert auch eine planare Zeichnung des DFS-Baums.
- Betrachte Zeichnung mit der Wurzel an der äußeren Facette.
- Jede Nichtbaumkante  $e$  führt entweder links (**L-Kante**) oder rechts (**R-Kante**) am Baum zurück.
- Formal:
  - Ist der Fundamentalkreis von  $e$  im Uhrzeigersinn orientiert, so ist  $e$  **R-Kante**, ansonsten **L-Kante**, dieser Zeichnung.



## Was hilft der Baum?

- Jede planare Zeichnung von  $G$  liefert auch eine planare Zeichnung des DFS-Baums.
- Betrachte Zeichnung mit der Wurzel an der äußeren Facette.
- Jede Nichtbaumkante  $e$  führt entweder links ( $L$ -Kante) oder rechts ( $R$ -Kante) am Baum zurück.
- Formal:
  - Ist der Fundamentalkreis von  $e$  im Uhrzeigersinn orientiert, so ist  $e$   $R$ -Kante, ansonsten  $L$ -Kante, dieser Zeichnung.
- Um herauszufinden, ob ein Graph  $G$  planar ist, müssen wir
  - entweder eine Einteilung der Nichtbaumkanten in  $L$ - und  $R$ -Kanten finden bei der keine Überschneidungen entstehen  
 $\Rightarrow$  das werden wir LR-Zerlegung von  $G$  nennen
  - oder zeigen, dass eine solche Einteilung nicht existiert.



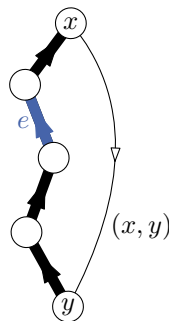
# Rückkehr- und Tiefpunkte

**Erinnerung:** Wir betrachten einen DFS-Baum mit Orientierung.

## Definition.

Sei  $e$  eine Kante. Eine Nichtbaumkante  $(x, y)$  heißt **Rückkante von  $e$** , wenn  $e$  auf dem Fundamentalkreis von  $(x, y)$  liegt. Dann nennt man  $y$  einen **Rückkehrpunkt von  $e$** .

Ist  $e$  eine Nichtbaumkante, so ist  $e$  seine einzige und eigene Rückkante mit eindeutigem Rückkehrpunkt.



# Rückkehr- und Tiefpunkte

**Erinnerung:** Wir betrachten einen DFS-Baum mit Orientierung.

## Definition.

Sei  $e$  eine Kante. Eine Nichtbaumkante  $(x, y)$  heißt **Rückkante von  $e$** , wenn  $e$  auf dem Fundamentalkreis von  $(x, y)$  liegt. Dann nennt man  $y$  einen **Rückkehrpunkt von  $e$** .

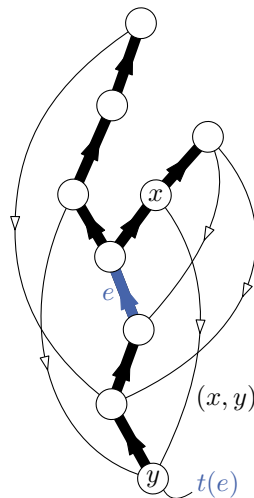
Ist  $e$  eine Nichtbaumkante, so ist  $e$  seine einzige und eigene Rückkante mit eindeutigem Rückkehrpunkt.

## Definition.

Sei  $e$  eine Kante. Der tiefste Rückkehrpunkt von  $e$

$$t(e) := \text{kleinste DFS-Zahl eines Rückkehrpunktes}$$

nennt man den **Tiefpunkt von  $e$** .





## Gabeln und Konflikte

### Definition.

Eine **Gabel** sind zwei Kanten mit dem gleichen Startpunkt, also  $e_1 = (u, v_1)$  und  $e_2 = (u, v_2)$ .

### Definition.

Für eine Gabel  $e_1 = uv_1, e_2 = uv_2$  definiere die Mengen

$$R(e_1, e_2) := \{e \text{ Rückkante von } e_1 \text{ mit } t(e_2) < t(e) < u\}$$

$$R(e_2, e_1) := \{e \text{ Rückkante von } e_2 \text{ mit } t(e_1) < t(e) < u\}$$

Zwei Kanten  $f_1, f_2$  haben einen **Konflikt** bezüglich  $e_1, e_2$  wenn

- $f_1, f_2 \in R(e_1, e_2)$  oder  $f_1, f_2 \in R(e_2, e_1)$  (**Gleichheitskonflikt**).
- $f_1 \in R(e_1, e_2)$  und  $f_2 \in R(e_2, e_1)$  oder umgekehrt (**Ungleichheitskonflikt**).

